

# Sinais e Sistemas

## Representação de Sinais periódicos em Séries de *Fourier* – 2ª parte



# Série Trigonométrica de *Fourier*

- Foi mostrado na aula anterior (slides 39 a 43), que  $\sin \omega_0 t$ ,  $\sin 2\omega_0 t$ , ..., formam um conjunto ortogonal em qualquer intervalo  $(t_0, t_0 + 2\pi/\omega_0)$
- No entanto, esse conjunto não é completo, pois também deveriam ser incluídas as funções co-seno. Assim, uma expansão mais geral seria (para  $t_0 \leq t \leq t_0 + 2\pi/\omega_0$ ):

$$f(t) = a_0 + a_1 \cos \omega_0 t + a_2 \cos 2\omega_0 t + \dots + b_1 \sin \omega_0 t + b_2 \sin 2\omega_0 t + \dots$$



# Série Trigonométrica de *Fourier*

- Usando-se uma notação mais compacta fica:

$$f(t) = a_0 + \sum_{n=1}^{+\infty} [a_n \cos(n\omega_0 t) + b_n \sin(n\omega_0 t)]$$

- para  $t_0 \leq t \leq t_0 + 2\pi/\omega_0$  onde:  $T = 2\pi/\omega_0$
- Os coeficientes  $a_n$  e  $b_n$  devem obedecer a:

$$a_0 = \frac{1}{T} \int_{t_0}^{t_0+T} f(t).dt \quad a_n = \frac{\int_{t_0}^{t_0+T} f(t).\cos(n\omega_0 t)dt}{\int_{t_0}^{t_0+T} \cos^2(n\omega_0 t).dt} \quad b_n = \frac{\int_{t_0}^{t_0+T} f(t).\sin(n\omega_0 t)dt}{\int_{t_0}^{t_0+T} \sin^2(n\omega_0 t).dt}$$

# Série Trigonométrica de *Fourier*

- O valor  $a_0$  corresponde ao valor médio ou componente DC de  $f(t)$  no intervalo  $(t_0, t_0 + T)$
- Como os integrais nos denominadores valem  $T/2$  (verificar), então:

$$a_n = \frac{2}{T} \int_{t_0}^{t_0+T} f(t) \cdot \cos(n\omega_0 t) dt$$

$$b_n = \frac{2}{T} \int_{t_0}^{t_0+T} f(t) \cdot \text{sen}(n\omega_0 t) dt$$

# Série Trigonométrica de *Fourier*

- É possível mostrar ainda que a série trigonométrica de *Fourier* também pode ser escrita na forma:

$$f(t) = \sum_{n=0}^{+\infty} c_n \cos(n.\omega_0 t + \varphi_n)$$

- onde:

$$c_n = \sqrt{a_n^2 + b_n^2}$$

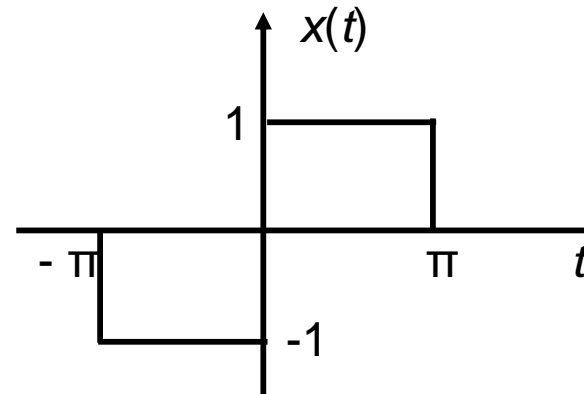
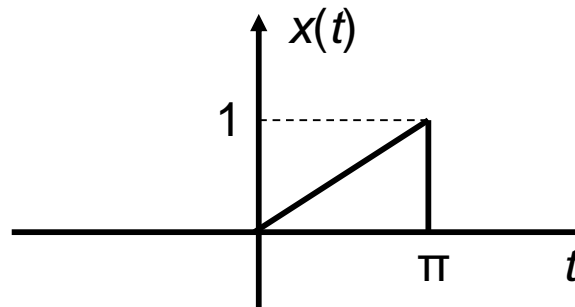
$$\varphi_n = -\operatorname{tg}^{-1} \frac{b_n}{a_n}$$

- Importante ressaltar que a expansão é garantida somente dentro do intervalo  $(t_0, t_0 + T)$



# Série Trigonométrica de *Fourier*

- Trabalho para casa:
  - Efectuar as aproximações, usando a STF, das funções dadas pelos gráficos seguintes:



- Para as 2 situações traçar um gráfico (usando software à escolha) da aproximação com 1, 2 e 20 termos.

PRIMITIVAÇÃO POR PARTES

$$\int f(x)g(x) dx = F(x)g(x) - \int F(x)g'(x) dx,$$

sendo  $F$  uma primitiva de  $f$ .

# Série de *Fourier-Legendre*

- Um conjunto de polinómios de *Legendre*  $\{P_n(x)\}$ , forma um conjunto completo de funções no intervalo  $-1 \leq t \leq +1$
- Tais polinómios são:
  - $P_0(t) = 1$
  - $P_1(t) = t$
  - $P_2(t) = 3/2.t^2 - 1/2$
  - $P_3(t) = 5/2.t^3 - 3/2.t$
  - ...



# Série de *Fourier-Legendre*

- O termo geral das funções anteriores é:

$$P_n(t) = \frac{1}{2^n n!} \frac{d^n}{dt^n} (t^2 - 1)^n$$

- Pode ser verificado que:

$$\int_{-1}^{+1} P_m(t).P_n(t).dt = \begin{cases} 0, & m \neq n \\ \frac{2}{2m+1}, & m = n \end{cases}$$

- Então,  $f(t)$  pode ser expressa em termos da série de polinómios de *Legendre* no intervalo:  
 $-1 \leq t \leq +1$



# Série de *Fourier-Legendre*

$$f(t) = C_0 P_0(t) + C_1 P_1(t) + \dots = \sum_{n=0}^{\infty} C_n P_n(t)$$

- onde  $C_n$  obedece a:

$$C_n = \frac{\int_{-1}^{+1} f_1(t) \cdot P_n(t) \cdot dt}{\int_{-1}^{+1} P_n^2(t) \cdot dt}$$

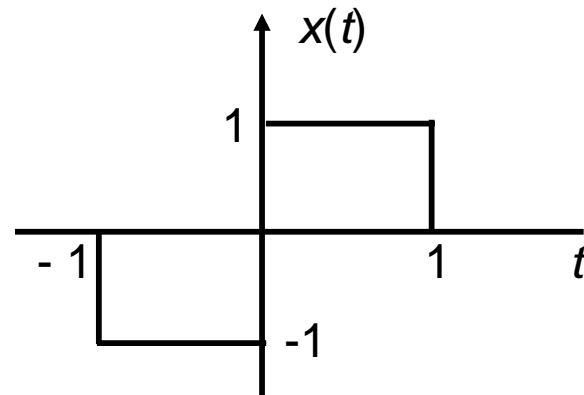
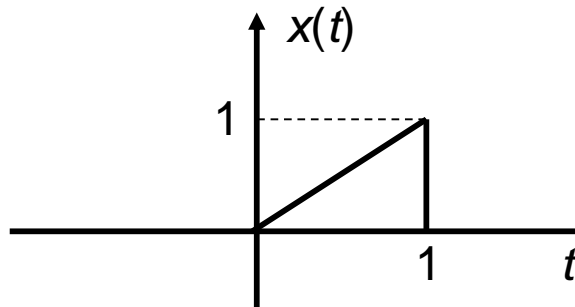
- e, finalmente:

$$C_n = \frac{2n+1}{2} \int_{-1}^{+1} f_1(t) \cdot P_n(t) \cdot dt$$

# Série de *Fourier-Legendre*

- Trabalho para casa:

- Efectuar as aproximações, usando a SFL, das funções dadas pelos gráficos seguintes:



- Para as 2 situações traçar um gráfico (usando software à escolha) da aproximação com 1, 2 e 20 termos.

## PRIMITIVAÇÃO POR PARTES

$$\int f(x)g(x) dx = F(x)g(x) - \int F(x)g'(x) dx,$$

sendo  $F$  uma primitiva de  $f$ .

# Série exponencial de *Fourier*

- Conforme foi visto na última aula, as funções exponenciais complexas também formam um conjunto,  $\{e^{jn\omega_0 t}\}$ , para  $(n = 0, \pm 1, \pm 2, \dots)$ , que é ortogonal e completo no intervalo:

$$-t_0 \leq t \leq t_0 + 2\pi/\omega_0$$

- Ou seja:

$$\int_{t_0}^{t_0 + 2\pi/\omega_0} (e^{jn\omega_0 t}) \cdot (e^{jm\omega_0 t})^* dt = \begin{cases} \frac{2\pi}{\omega_0} = T, & n = m \\ 0, & n \neq m \end{cases}$$



# Série exponencial de *Fourier*

- Portanto, uma função  $f(t)$  pode ser expandida em série:

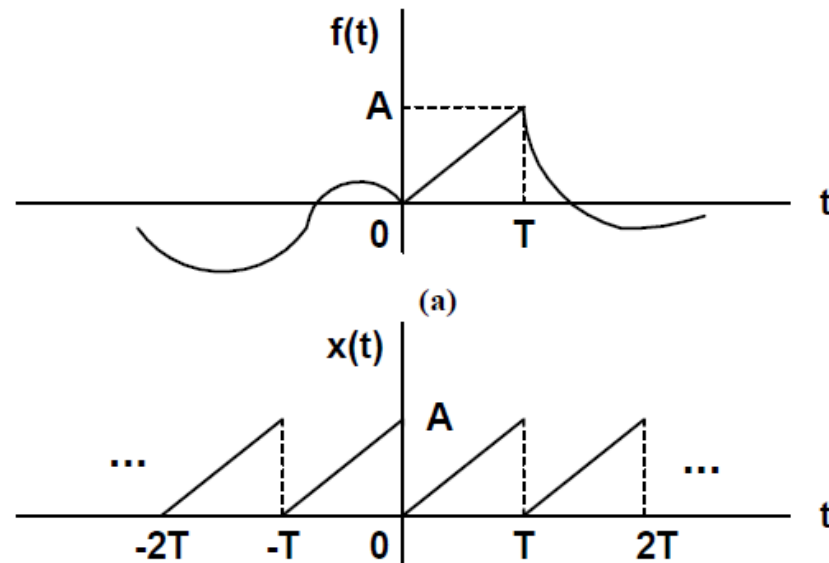
$$\begin{aligned} f(t) &= C_0 + C_1.e^{j\omega_0 t} + C_2.e^{j2\omega_0 t} + \dots + C_{-1}.e^{-j\omega_0 t} + C_{-2}.e^{-j2\omega_0 t} + \dots \\ &= \sum_{n=-\infty}^{+\infty} C_n.e^{jn\omega_0 t} \end{aligned}$$

- para  $t_0 \leq t \leq t_0 + 2\pi/\omega_0$ , onde:

$$C_n = \frac{\int_{t_0}^{t_0+T} f(t).(e^{jn\omega_0 t})^* dt}{\int_{t_0}^{t_0+T} (e^{jn\omega_0 t}).(e^{jn\omega_0 t})^* .dt} = \frac{1}{T} \int_{t_0}^{t_0+T} f(t).e^{-jn\omega_0 t} dt$$

# Representação de uma função periódica pela série de *Fourier*

- Até agora representou-se a função  $f(t)$  pela série de *Fourier* no intervalo  $t_0 < t < t_0 + T$
- Fora desse intervalo  $f(t)$  e a série não precisam ser iguais ( $t_0 = 0$ ):



# Representação de uma função periódica pela série de *Fourier*

- Se uma função  $x(t)$  for periódica, conforme o gráfico anterior, pode-se mostrar que a representação da série complexa:

$$f(t) = \sum_{n=-\infty}^{+\infty} C_n \cdot e^{jn\omega_0 t}$$

- se aplica para todo o intervalo  $-\infty < t < +\infty$
- Neste caso, basta observar o comportamento de  $x(t)$  para  $t_0 < t < t_0 + T$ , sendo  $x(t)$  periódica com período  $T = 1/f_0$

# Representação de uma função periódica pela série de *Fourier*

- A exponencial complexa é periódica. Se  $x(t)$  também for com período  $T$  a expressão anterior é válida para o intervalo  $-\infty < t < +\infty$
- Para  $x(t)$  periódica:

$$x(t) = \sum_{n=-\infty}^{+\infty} c(nf_0) \cdot e^{jn2\pi f_0 t} \quad \text{para } -\infty < t < \infty$$

- onde:

$$c(nf_0) = C_n = \frac{1}{T} \int_{t_0}^{t_0+T} x(t) \cdot e^{-jn2\pi f_0 t} dt$$

# Representação de uma função periódica pela série de *Fourier*

- Exemplo: Considerar um sinal periódico  $x(t)$  com período  $T_0 = 2\pi/\omega_0$
- Como visto anteriormente, este sinal pode ser representado pela série infinita:

$$x(t) = \sum_{n=-\infty}^{\infty} C_n e^{jn\omega_0 t}$$

- Mostrar que, inversamente, todo sinal escrito na forma dessa série é periódico



# Representação de uma função periódica pela série de *Fourier*

- Para demonstrar, basta calcular:

$$x(t + T_0) = \sum_{n=-\infty}^{\infty} C_n e^{jn\omega_0(t+T_0)} = \sum_{n=-\infty}^{\infty} C_n e^{jn\omega_0 t} \cdot e^{jn\omega_0 T_0} = \sum_{n=-\infty}^{\infty} C_n e^{jn\omega_0 t} \cdot e^{jn2\pi} = \sum_{n=-\infty}^{\infty} C_n e^{jn\omega_0 t} = x(t)$$

- O que mostra que a série infinita representa o sinal periódico  $x(t)$
- Esta Série designa-se por Série de *Fourier* Exponencial Complexa, ou simplesmente Série de *Fourier* Complexa do sinal  $x(t)$



# Espectro de frequências discreto

- Os coeficientes  $C_k$  são os coeficientes da série de *Fourier* do sinal periódico  $x(t)$ , também chamados de coeficientes espectrais de  $x(t)$
- Medem a contribuição de cada exponencial complexa nas frequências múltiplas (harmónicas) da frequência fundamental -  $\omega_0$

$$x(t) = \sum_{n=-\infty}^{\infty} c(nf_0) e^{jn2\pi f_0 t} \quad (\text{equação de síntese})$$

$$c(nf_0) = C_n = \frac{1}{T_0} \int_{\langle T_0 \rangle} x(t) \cdot e^{-jn2\pi f_0 t} dt \quad (\text{equação de análise})$$

# Espectro de frequências discreto

- Cada  $C_n$  revela o conteúdo de  $x(t)$  em cada frequência  $n.f_0$
- O conjunto  $\{C_n\}$  chama-se: espectro de linhas ou espectro de frequência discreto de  $x(t)$
- Os coeficientes são, em geral, funções complexas de  $n$  ou  $n.f_0$
- Quando  $n = 0$ ,  $C_0$  representa o valor médio do sinal  $x(t)$

$$c(0) = C_0 = \frac{1}{T_0} \int_{\langle T_0 \rangle} x(t) dt$$



# Espectro de frequências discreto

- Propriedades dos coeficientes  $C_n$ :
  - Se a função  $x(t)$  é real, então  $x^*(t) = x(t)$ . Deste modo:

$$C_n^* = \left( \frac{1}{T_0} \int_{\langle T_0 \rangle} x(t) \cdot e^{-jn2\pi f_0 t} dt \right)^* = \frac{1}{T_0} \int_{\langle T_0 \rangle} x(t) \cdot e^{-jn2\pi f_0 t} dt = C_{-n}$$

- Portanto, para  $x(t)$  real:

$$C_n^* = C_{-n} \Rightarrow c^*(nf_0) = c(-nf_0)$$

- Chamada *Simetria Conjugada* ou *Simetria Hermitiana*



# Espectro de frequências discreto

- Propriedades dos coeficientes  $C_n$ :
  - Se  $C_n$  é representado pela sua forma retangular ou polar:

$$C_n = \alpha_n + j\beta_n = |C_n| e^{j\arg[C_n]}$$

$$|C_n| = (\alpha_n^2 + \beta_n^2)^{1/2}$$

$$\arg[C_k] = \tan^{-1} \frac{\beta_n}{\alpha_n}$$

$$C_{-n} = \alpha_{-n} + j\beta_{-n} = C_n^* = \alpha_n - j\beta_n \quad \alpha_n = \alpha_{-n}$$

$$|C_n| = |C_{-n}| \Rightarrow |c(nf_0)| = |c(-nf_0)| \quad \beta_n = -\beta_{-n}$$

$$\arg[C_n] = -\arg[C_{-n}] \Rightarrow \arg[c(nf_0)] = -\arg[c(-nf_0)]$$

# Espectro de frequências discreto

- Propriedades dos coeficientes  $C_n$ :
  - O gráfico de  $|C_n|$  em função de  $n$ , ou  $nf_0$ , é chamado de espectro de magnitudes (amplitudes) de  $x(t)$ 
    - no caso de  $x(t)$  ser real, é uma função par
  - O gráfico de  $\arg[C_n]$  em função de  $n$ , ou  $nf_0$ , é o espectro de fase
    - no caso de  $x(t)$  ser real, é uma função ímpar

# Espectro de frequências discreto

- Exercícios: Obter os coeficientes da série de *Fourier* complexa de:

a)  $x(t) = 1 + \sin \omega_0 t - 3 \cos 3\omega_0 t$

b)  $x(t) = 1 - 3 \cos 0.6\pi t + 2 \sin 1.2\pi t + \cos 2.1\pi t$

# Espectro de frequências discreto

- Resolução:
- a) Usando a formula de Euler:

$$\begin{aligned}x(t) &= 1 + \frac{e^{j\omega_0 t} - e^{-j\omega_0 t}}{2j} - 3 \frac{e^{j3\omega_0 t} + e^{-j3\omega_0 t}}{2} = \\&= -\frac{3}{2}e^{-j3\omega_0 t} - \frac{1}{2j}e^{-j\omega_0 t} + 1 + \frac{1}{2j}e^{j\omega_0 t} - \frac{3}{2}e^{j3\omega_0 t}\end{aligned}$$

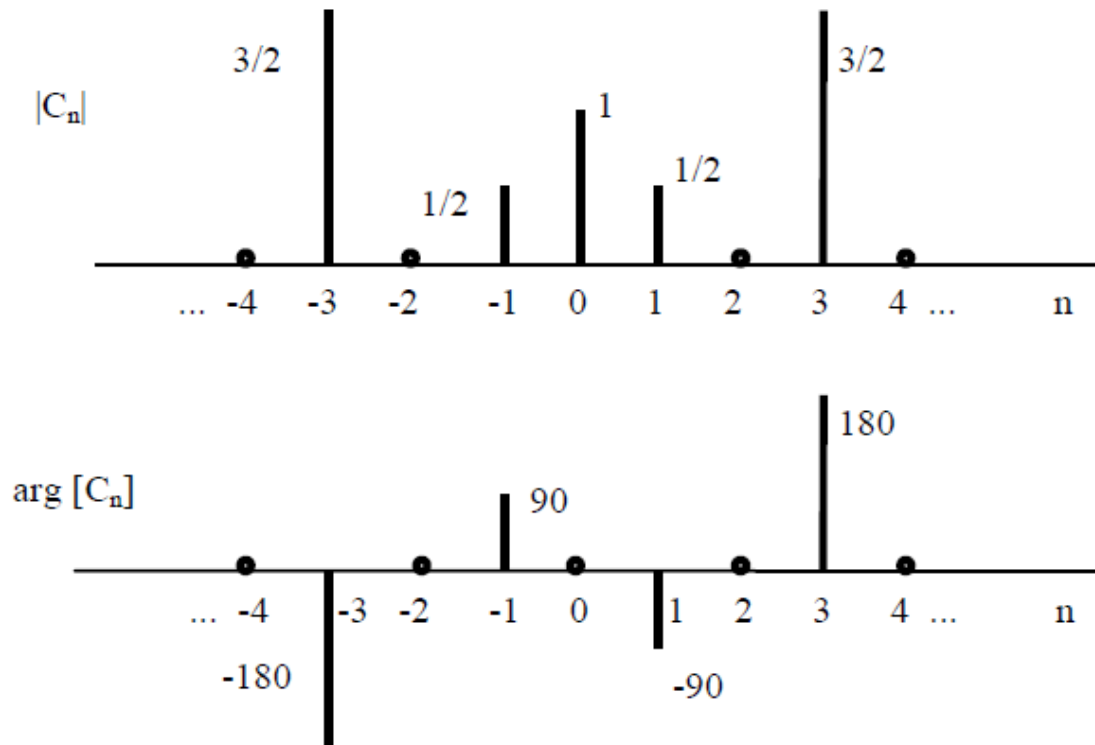
- a qual já se encontra na forma de soma de exponenciais complexas e, portanto:

$$C_0 = 1 \quad C_{-1} = -C_1 = -\frac{1}{2j} \quad C_{-3} = C_3 = -\frac{3}{2}$$



# Espectro de frequências discreto

- Resolução:
- a) Gráficos de Módulo e Fase



# Espectro de frequências discreto

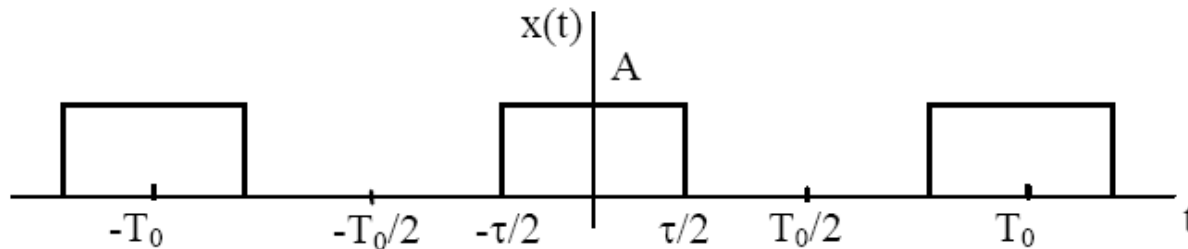
- Resolução:
- b) Devemos primeiro verificar se  $x(t)$  é um sinal periódico. Observando as frequências dos sinais, chega-se à conclusão que a frequência fundamental é igual a  $\omega_0 = 0.3\pi$ , e as componentes sinusoidais correspondem àquelas nas frequências  $2\omega_0$ ,  $4\omega_0$  e  $7\omega_0$
- Logo tem-se:  $x(t) = 1 - 3\cos 2\omega_0 t + 2\sin 4\omega_0 t + \cos 7\omega_0 t$ .

$$C_0 = 1 \qquad C_{-2} = C_2 = -\frac{3}{2} \qquad C_{-4} = -C_4 = -\frac{1}{j} \qquad C_{-7} = C_7 = \frac{1}{2}$$



# Espectro de frequências discreto

- Exercício: Obter a série de *Fourier* e desenhar o espectro de frequências da forma de onda rectangular mostrada na figura seguinte:



- Num período, entre  $-T_0/2$  e  $T_0/2$ , tem-se que:

$$x(t) = \begin{cases} A, & -\tau/2 \leq t \leq \tau/2 \\ 0 & \text{elsewhere} \end{cases}$$

# Espectro de frequências discreto

- Resolução:

$$C_n = \frac{1}{T_0} \int_{-\tau/2}^{\tau/2} A e^{-jn\omega_0 t} dt = -\frac{A}{T_0} \frac{e^{-jn\omega_0 \tau/2} - e^{jn\omega_0 \tau/2}}{jn\omega_0} = \frac{2jA \sin(n\omega_0 \tau/2)}{jn\omega_0 T_0} = \frac{2A \sin(n\omega_0 \tau/2)}{n\omega_0 T_0}$$

$$\text{onde } \omega_0 = \frac{2\pi}{T_0} = 2\pi f_0$$

$$C_n = \frac{2A\tau}{T_0} \frac{\sin[n(2\pi/T_0)\tau/2]}{n2\pi/T_0} = \frac{A\tau}{T_0} \frac{\sin(\pi n f_0 \tau)}{\pi n f_0 \tau} = \frac{A\tau}{T_0} \text{sinc}(n f_0 \tau) = A f_0 \tau \text{sinc}(n f_0 \tau)$$

onde

$$\text{sinc}(x) = \frac{\sin(\pi x)}{\pi x}$$

# Espectro de frequências discreto

- Resolução:
- Para o caso particular de  $T_0 = 1/f_0 = 4\tau$ , fica:
  - $C_k = A/4 \operatorname{sinc}(n/4)$
- Seguindo a convenção adotada desde o início, na qual se considera a amplitude uma grandeza positiva, sendo o sinal negativo levado em conta através do ângulo de fase de  $\pm 180^\circ$ , obtém-se os gráficos de módulo e fase



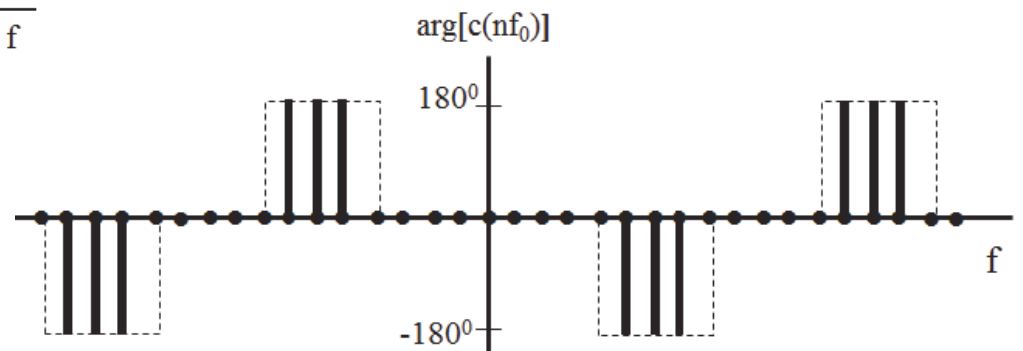
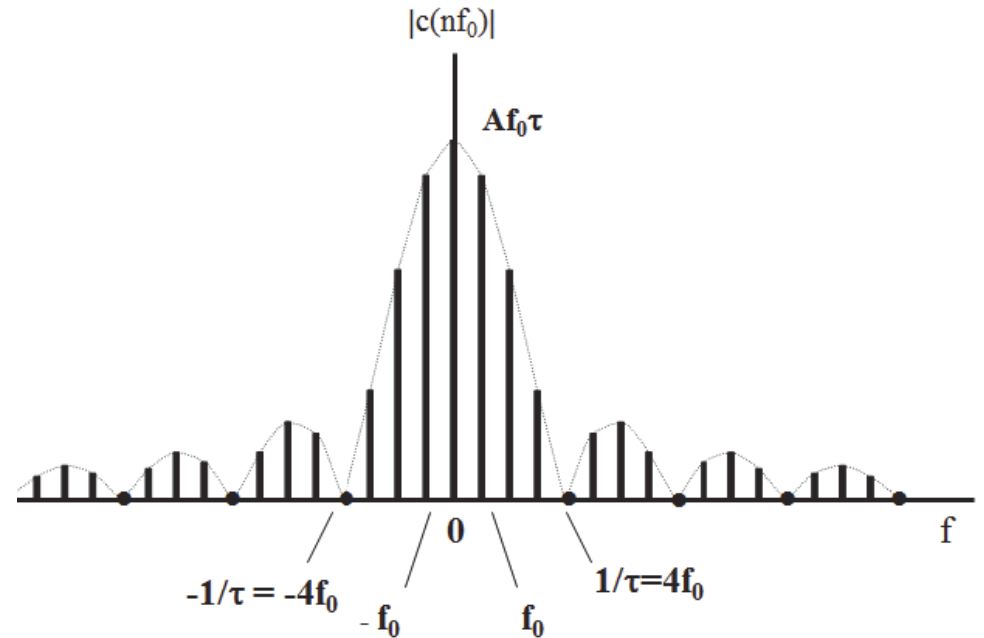
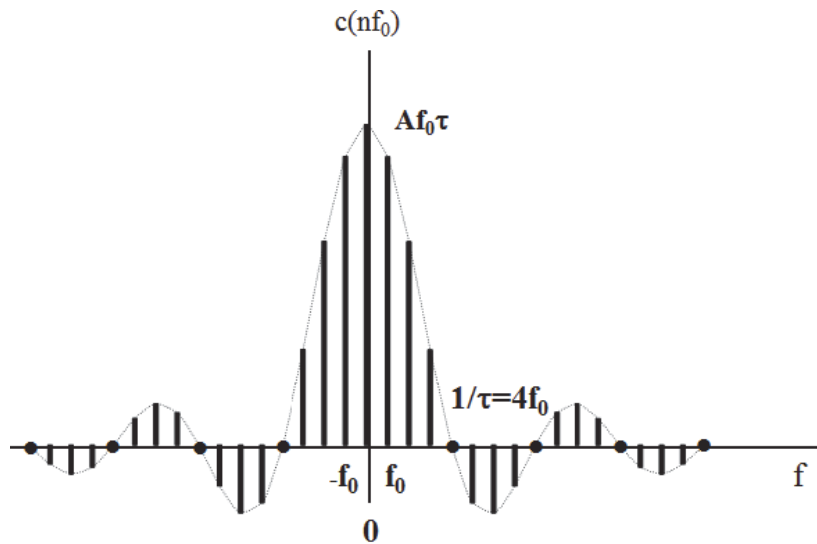
# Espectro de frequências discreto

- Resolução:
- Para o caso particular de  $T_0 = 1/f_0 = 4\tau$ , fica:
  - $C_k = A/4 \operatorname{sinc}(n/4)$
- Seguindo a convenção adotada desde o início, na qual se considera a amplitude uma grandeza positiva, sendo o sinal negativo levado em conta através do ângulo de fase de  $\pm 180^\circ$ , obtém-se os gráficos de módulo e fase



# Espectro de frequências discreto

- Resolução:



# Existência da Série de *Fourier*

- Para determinar os coeficientes da série de *Fourier* do sinal  $x(t)$ , utilizamos as equações:

$$C_n = \frac{1}{T_0} \int_{\langle T_0 \rangle} x(t) \cdot e^{-jn2\pi f_0 t} dt \quad x(t) = \sum_{n=-\infty}^{\infty} C_n e^{jn2\pi f_0 t}$$

- No integral, o problema que pode existir é este divergir:  $C_n \rightarrow \infty$
- No somatório, mesmo os coeficientes sendo finitos, a série pode não convergir para  $x(t)$



# Existência da Série de *Fourier*

- Sendo:

$$x_N(t) = \sum_{n=-N}^N C_n e^{jn2\pi f_0 t}$$

- o factor de erro:

$$\varepsilon_N = \int_{\langle T_0 \rangle} |x(t) - x_N(t)|^2 dt$$

- pode não tender para zero à medida que  $N$  tende para infinito -  $x_N(t)$  não tende para  $x(t)$

# Existência da Série de *Fourier*

- Uma condição suficiente para a convergência da série de *Fourier* é que o sinal tenha energia finita num período:

$$\int_{\langle T_0 \rangle} |x(t)|^2 dt < \infty$$

- Esta condição garante que a maioria dos sinais práticos podem ser representados pela Série de *Fourier*



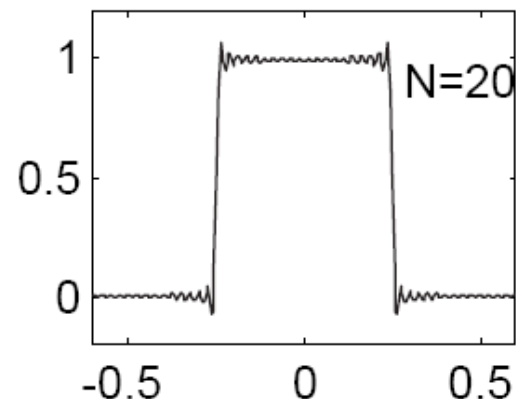
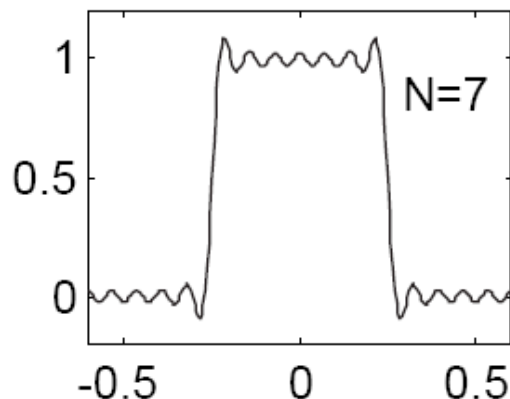
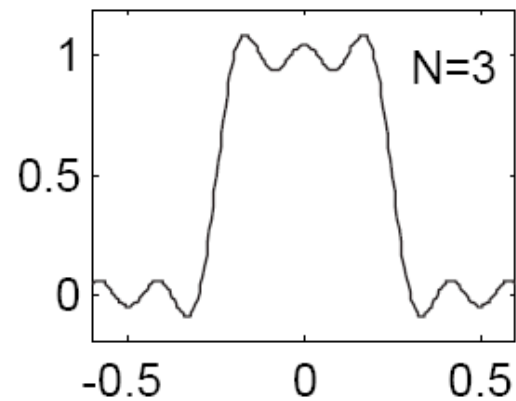
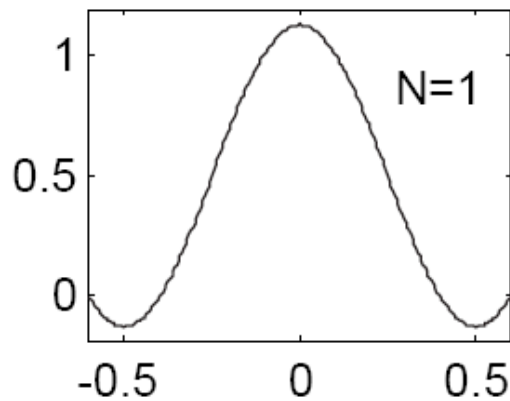
# Fenómeno de *Gibbs*

- Considere-se uma onda quadrada periódica com amplitude unitária e frequência fundamental  $\omega_0$
- A sua representação em termos da série de *Fourier* é:

$$x_N(t) = 0.5 + \frac{2}{\pi} \cos \omega_0 t - \frac{2}{3\pi} \cos 3\omega_0 t + \frac{2}{5\pi} \cos 5\omega_0 t + \dots + (-1)^{N-1} \frac{2}{(2N-1)\pi} \cos(2N-1)\omega_0 t$$

# Fenómeno de *Gibbs*

- Gráficos de  $x_N(t)$  para  $N = 1, 3, 7$  e 20



# Fenómeno de *Gibbs*

- À medida que  $N$  cresce, a frequência das oscilações (*ripple*) aumenta:  $x_N(t) \rightarrow x(t)$
- No entanto, próximo da descontinuidade, o *ripple* fica mais estreito mas a amplitude não diminui, ficando em cerca de 9% do valor da descontinuidade
- Este é o chamado fenómeno de *Gibbs*
  - ocorre sempre que se tem descontinuidades na função representada pela série

# Fórmula de *Parseval* e distribuição de potência

- Como já foi visto, todo sinal periódico limitado é um sinal de potência
- Podemos representar um sinal periódico por uma Série de *Fourier*
- Ideia: Obter uma relação entre a potência média e os coeficientes da série do sinal

# Fórmula de *Parseval* e distribuição de potência

- A potência média é dada por:

$$P_m = \frac{1}{T_0} \int_{\langle T_0 \rangle} x(t) \cdot x^*(t) dt = \frac{1}{T_0} \int_{\langle T_0 \rangle} \left( \sum_{n=-\infty}^{\infty} C_n e^{jn2\pi f_0 t} \right) \cdot x^*(t) dt = \sum_{n=-\infty}^{\infty} C_n \left[ \frac{1}{T_0} \int_{\langle T_0 \rangle} x^*(t) e^{jn2\pi f_0 t} dt \right] =$$

$$\sum_{n=-\infty}^{\infty} C_n \left[ \frac{1}{T_0} \int_{\langle T_0 \rangle} x(t) e^{-jn2\pi f_0 t} dt \right]^* = \sum_{n=-\infty}^{\infty} C_n \cdot C_n^* = \sum_{n=-\infty}^{\infty} |C_n|^2$$

$$P_m = \sum_{n=-\infty}^{\infty} C_n \cdot C_n^* = \sum_{n=-\infty}^{\infty} |C_n|^2$$

- estabelece que a potência média do sinal  $x(t)$  é igual à soma dos módulos dos coeficientes ao quadrado -  $|C_n|^2$



# Bibliografia

- Oppenheim, A.V. , Willsky, A.S. and Young, I.T., Signals and Systems, Prentice- Hall Signal Processing Series, 1983

